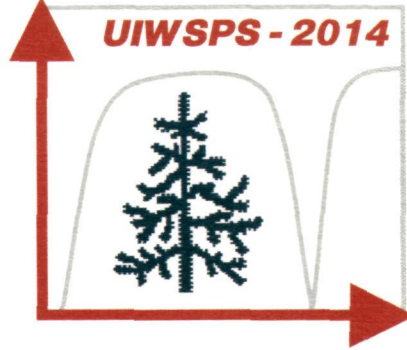


# ПРОГРАММА

И ТЕЗИСЫ ДОК



## **XX Уральская международная зимняя школа по физике полупроводников**

**электронные свойства  
наноразмерных систем**

**структура и свойства  
полупроводников с  
примесями переходных  
элементов**

**новые электронные  
явления и материалы**

**17 - 22 февраля 2014 г.  
Екатеринбург - Новоуральск**

# Содержание

---

## Электронные свойства низкоразмерных систем

## Electronic Properties of Low-Dimensional Systems 69

---

L-01 Электростатическое экранирование вnanoструктурах

*A.B. Чаплик*

Electrostatic Screening in Nanostructures

*A.V. Chaplik* . . . . . 69

L-02 Бернштейновские ветви 2D магнитоплазмонов и параметрический резонанс в двумерной системе в магнитном поле

*B.A. Волков, A.A. Заболотных*

Bernstein modes of 2D magnetoplasmons and parametric resonance in 2D system in magnetic field

*V.A. Volkov, A.A. Zabolotnykh* . . . . . 70

L-03 Coulomb drag and thermalization-controlled electron transport in one dimension

*A.P. Dmitriev, I.V. Gornyi, D.G. Polyakov* . . . . . 71

L-04 Giant magneto-drag in graphene at charge neutrality

*B.N. Narozhny* . . . . . 72

L-05 Quantum oscillations of dissipative resistance in crossed electric and magnetic fields

*S.A. Vitkalov, S. Dietrich, A.A. Bykov* . . . . . 74

L-06 Неравновесные явления в двумерных электронных дисках Корбино при больших факторах заполнения	<i>А.А. Быков, И.С. Стрыгин, Д.В. Дмитриев, С. Дирих, С.А. Виткалов</i>	75
Nonequilibrium phenomena in two-dimensional electron Corbino rings at large filling factors	<i>A.A. Bykov, I.S. Strygin, D.V. Dmitriev, S. Dietrich, S.A. Vitkalov</i>	
L-07 Nonequilibrium transport in high Landau levels of 2D systems: recent developments	<i>M.A. Zudov</i>	77
L-08 Электрические неустойчивости и транспорт в системах с отрицательной проводимостью	<i>И.А. Дмитриев</i>	
Electrical instabilities and transport in systems with negative conductivity	<i>I.A. Dmitriev</i>	
L-09 Двумерный топологический изолятор в HgTe квантовых ямах	<i>З.Д. Квон</i>	78
Two Dimensional Topological Insulator in HgTe Quantum Well	<i>Z.D. Kvon</i>	
L-10 Интерференционная поправка к проводимости в структурах на основе HgTe	<i>И.В. Горный, В.Ю. Качоровский, П.М. Островский</i>	
Interference-induced magnetoresistance in HgTe quantum wells	<i>I.V. Gornyi, V.Yu. Kachorovskii, P.M. Ostrovsky</i>	81
L-11 Особенности квантового магнитотранспорта в двойной квантовой яме HgTe/CdHgTe	<i>М.В. Якунин, А.В. Суслов, М.Р. Попов, Е.Г. Новик, С.А. Дворецкий, Н.Н. Михайлов</i>	

Specific features of quantum magnetotransport in the HgTe/CdHgTe double quantum well <i>M.V. Yakunin, A.V. Suslov, M.R. Popov, E.G. Novik, S.A. Dvoretsky, N.N. Mikhailov . . . . .</i>	83
L-12 Энергетический спектр носителей в квантовых ямах HgTe: "мифы и реальность" <i>Г.М. Миньков, А.А. Шерстобитов, А.В. Германенко, О.Э. Рут, С.А. Дворецкий, Н.Н. Михайлов</i>	
The energy spectrum of the carriers in HgTe quantum wells: "Myths and Realities" <i>G.M. Minkov, A.A. Sherstobitov, A.V. Germanenko, O.E. Rut, S.A. Dvoretsky, N.N. Mikhailov . . . . .</i>	85
L-13 Высокочастотный транспорт в p-SiGe/Ge/SiGe <i>И.Л. Дричко, В.А. Малыш, И.Ю. Смирнов, Л.Е. Голуб, С.А. Тарасенко, А.В. Суслов, О.А. Миронов, М. Куммер, H. von Känel</i>	
AC-transport in p-SiGe/Ge/SiGe <i>I.L. Drichko, V.A. Malysh, I.Yu. Smirnov, L.E. Golub, S.A. Tarasenko, A.V. Suslov, O.A. Mironov, M. Kummer, H. von Känel . . . . .</i>	86
L-14 Scaling in quantum Hall plateau-plateau transition for a double quantum well nanostructure <i>Yu.G. Arapov, S.V. Gudina, A.S. Klepikova, V.N. Neverov, G.I. Harus, N.G. Shelushinina, M.V. Yakunin . . . . .</i>	88
L-15 Spin-orbit interaction in 2D Kane semiconductors <i>P.E. Kunavrin, E.L. Rumyantsev . . . . .</i>	90
L-16 Экспериментальные исследования термодинамики двумерных электронных систем <i>А.Ю. Кунцевич</i>	
Experimental studies of the thermodynamics of two-dimensional electronic systems <i>A.Yu. Kuntsevich . . . . .</i>	92
L-17 Полупроводниковый искусственный графен: эффекты при $B < 10$ мТ <i>О.А. Ткаченко, В.А. Ткаченко</i>	
Semiconductor artificial graphcne: effects at $B < 10$ mT <i>O.A. Tkachenko, V.A. Tkachenko . . . . .</i>	93

L-18 Дробовой шум и неравновесный транспорт в полупроводниковых микроструктурах <i>Е.С. Тихонов, В.С. Храпай, Д.В. Шовкун</i>	95
Shot noise and non-equilibrium transport in semiconductor microstructures <i>E.S. Tikhonov, V.S. Khrapai, D.V. Shovkun . . . . .</i>	95
L-19 Слабо взаимодействующая жидкость Латтингера, реализованная в режиме квантового эффекта Холла <i>М.Г. Прокудина, В.С. Храпай</i>	
Weakly interacting Luttinger liquid based on the quantum Hall effect <i>M.G. Prokudina, V.S. Khrapai . . . . .</i>	97
L-20 Coulomb drag in graphene <i>I.V. Gornyi . . . . .</i>	99
L-21 Majorana Fermions in Solid State Physics <i>B.N. Narozhny . . . . .</i>	100
L-22 Магнитотранспорт в двумерном электронном газе на поверхности спирали в квантующих магнитных полях <i>Ю.С. Воробьёва, А.Б. Воробьёв, В.Я. Принц, А.И. Торопов, D. Maude</i>	
Magnetotransport in 2DEG on helical surface in quantizing magnetic fields <i>Yu.S. Vorobyova, A.B. Vorob'ev, V.Ya. Prinz, A.I. Toropov, D. Maude . . . . .</i>	102
L-23 Нанооболочки из ZnTe/CdHgTe/HgTe/CdHgTe с двумерным электронно-дырочным газом в квантовой яме HgTe. <i>С.В. Мутилин, Р.А. Соотс, А.Б. Воробьёв, Д.Г. Икусов, Н.Н. Михайлов, В.Я. Принц</i>	
Nanoshells formed from ZnTe/CdHgTe/HgTe/CdHgTe with two-dimensional electron-hole system in HgTe quantum well <i>S.V. Mutilin, R.A. Soots, A.B. Vorob'ev, D.G. Ikusov, N.N. Mikhailov, V.Ya. Prinz . . . . .</i>	104

- L-24 Структура и электронные свойства гетерокомпозиций 3C-SiC/SiGeC/Si(100)  
*Л.К. Орлов, Ю.Н. Дроздов, Э.А. Штейнман, Н.Л. Ивина*
- Structure and electronic properties of 3C-SiC/SiGeC/Si(100) heterocompositions  
*L.K. Orlov, Yu.N. Drozdov, E.A. Steinman, N.L. Ivina* . . . . . 106
- L-25 Квантовые поправки к проводимости в тонких оксидных пленках ZnO:Ga  
*О.В. Реукова, В.Г. Кытин, В.А. Кульбачинский, Д.Д. Мельник, Л.И. Бурова, А.Р. Кауль*
- Quantum corrections to the conductivity of ZnO:Ga thin films  
*O.V. Reukova, V.G. Kytin, V.A. Kulbachinskii, D.D. Melnik, L.I. Burova, A.R. Kaul* . . . . . 108
- L-26 Магнетосопротивление двумерного электронного газа на цилиндрической поверхности под действием СВЧ-излучения  
*Д.Б. Султанов, А.Б. Воробьев, А.Ф. Булдыгин*
- Magnetoresistance of two-dimensional electron gas on cylindrical surface under microwave irradiation  
*D.B. Sultanov, A.B. Vorob'ev, A.F. Buldigin* . . . . . 110
- L-27 Статический скин-эффект в двумерном электронном газе на цилиндрической поверхности при высоких температурах  
*А.Б. Воробьев, А.В. Чесницкий, Е.В. Козик, А.И. Торопов*
- Static skin effect in two-dimensional electron gas on cylindrical surface at high temperatures  
*A.B. Vorob'ev, A.V. Chesnitskiy, E.V. Kozik, A.I. Toropov* . . . . . 112
- L-28 Спиновая восприимчивость и тунNELьная плотность состояний в квантовой точке с анизотропным обменом  
*А.У. Шарафутдинов, Д.С. Любшин, И.С. Бурмистров*

- Statistics of Spin Fluctuations in Quantum Dots with Ising Exchange  
*A.U. Sharafutdinov, D.S. Lyubshin, I.S. Burmistrov* ..... 114
- L-29 Температурная зависимость ширины перехода плато-плато квантового эффекта Холла в ультраквантовой области магнитных полей  
*А.С. Клепикова, Ю.Г. Арапов, С.В. Гудина, В.Н. Неверов, Г.И. Харус, Н.Г. Шелушинина, Д.С. Петухов, М.В. Якунин*  
Temperature dependence of the quantum Hall effect plateau-plateau transition width in ultra-quantum limit of magnetic field  
*A.S. Klepikova, Yu.G. Arapov, S.V. Gudina, V.N. Neverov, G.I. Harus, N.G. Shelushinina, D.S. Petukhov, M.V. Yakunin* ..... 116
- L-30 Изменения энергетической структуры двойной квантовой ямы  $n$ -InGaAs/GaAs с наклоном магнитного поля  
*А.П. Савельев, М.В. Якунин, С.М. Подгорных, С.В. Гудина*  
Changes in the energy structure of the  $n$ -InGaAs/GaAs double quantum well with tilted magnetic field  
*A.P. Savelyev, M.V. Yakunin, S.M. Podgornykh, S.V. Gudina* ..... 118
- L-31 Энергетический спектр и кристаллическое строение самоорганизованных квантовых точек, сформированных в гетеросистеме GaSb/GaP  
*Д.С. Абрамкин, М.А. Путято, В.В. Преображенский, Б.Р. Семягин, А.К. Гутаковский, Т.С. Шамирзаев*  
Energy spectrum and atomic structure of self-assembled quantum dots, formed in GaSb/GaP heterosystem  
*D.S. Abramkin, M.A. Putyato, V.V. Preobrazhenskii, B.R. Semyagin, A.K. Gutakovskii, T.S. Shamirzaev* ..... 120

L-32 Incommensurate charge states in graphene induced by magnetic field <i>E.L. Rumyantsev</i> . . . . .	122
<hr/>	
L-33 Разогрев двумерного электронного и дырочного газа в HgTe А.А. Шерстобитов, Г.М. Миньков, А.В. Германенко, О.Э. Рут, Н.Н. Михайлов, С.А. Дворецкий The heating of two dimensional electrons and holes in HgTe A.A. Sherstobitov, G.M. Minkov, A.V. Germanenko, O.E. Rut, N.N. Mikhailov, S.A. Dvoretskii . . . . .	124
<hr/>	
Структура и свойства полупроводников с примесями переходных элементов Structure and Properties of the Semiconductors with Impurities of Transition Elements	129
<hr/>	
T-01 Глубокие уровни переходных металлов в сплавах на основе теллурида свинца <i>Е.П. Скипетров</i> Deep Levels of Transition Metals in Lead Telluride-Based Alloys <i>E.P. Skipetrov</i> . . . . .	129
<hr/>	
T-02 Эффекты разупорядоченности в 2D ферромагнитных гетероструктурах: GaAs/InGaAs/GaAs КЯ с отдаленным слоем Mn Б.А. Аронзон, А.Б. Давыдов, К.И. Кугель, Викрам Трипати Disorder effects in 2D ferromagnetic heterostructures: GaAs/InGaAs/GaAs quantum well with remote Mn layer B.A. Aronzon, A.B. Davydov, K.I. Kygcl, Vikram Tripathi . . . . .	131

Т-03 Резонансное и нерезонансное косвенное обменное взаимодействие в полупроводниках <i>И.В. Рожанский, И.В. Крайнов, Н.С. Аверкиев, Е. Lahderanta</i>	133
Resonant and non-resonant indirect exchange interaction in semiconductors <i>I.V. Rozhansky, I.V. Krainov, N.S. Averkiev, E. Lahderanta</i>	
Т-04 Спиновые и зарядовые явления связанные с положительно заряженными акцепторами в квантовых ямах GaAs/AlGaAs <i>П.В. Петров, Ю.Л. Иванов, Н.С. Аверкиев</i>	135
Spin and charge related phenomena connected with positively charged acceptors in GaAs/AlGaAs quantum wells <i>P.V. Petrov, Yu.L. Ivánov, N.S. Averkiev</i>	
Т-05 Твердые растворы и легированные пленки ZnO <i>Г.В. Лашкарев, И.И. Штеплюк, В.Й. Лазоренко, В.А. Карпина, А.И. Евтушенко, Д.В. Миронюк, В.В. Картузов, О.Ю. Хижун, Л.И. Овсянникова, Н.В. Дранчук, В.И. Попович</i>	137
Solid solutions and doped ZnO films <i>G.V. Lashkarev, I.I. Shtepliuk, V.I. Lazorenko, V.A. Karpina, A.I. Ievtushenko, D.V. Myroniuk, V.V. Kartuzov, O.Y. Khyzhun, L.I. Ovsannikova, N.V. Dranchuk, V.I. Popovich</i>	
Т-06 Магниторезистивный эффект в полупроводниках с орбитальным упорядочением <i>С.С. Аплеснин, М.Н. Ситников</i>	139
Magnetoresistance in the Semiconductors with Orbital Order <i>S.S. Aplesnin, M.N. Sitnikov</i>	
Т-07 Концентрационная зависимость константы Кюри и параметры локализованных спинов примесей никеля в кристаллах селенида ртути <i>Т.Е. Говоркова, В.И. Окулов, Г.А. Альшанский, А.Т. Лончаков, А.Ф. Губкин, Л.Д. Паранчик, М.А. Андрийчук</i>	139

- Concentration dependence of the Curie constant and parameters of the localized spin of the nickel impurities in crystals of mercury selenide  
**T.E. Govorkova, V.I. Okulov, G.A. Al'shanskii, A.T. Lonchakov, A.F. Gubkin, L.D. Paranchich, M.A. Andriichuk** . . . . . 141
- T-08 Поглощение ультразвука в полупроводниках, содержащих ян-теллеровские дефекты  
**H.C. Аверкиев, К.А. Барышников, И.Б. Берсукер, В.В. Гудков, И.В. Жевстовских, В.Ю. Маякин, А.М. Монахов, М.Н. Сарычев, В.Е. Седов, S. Yasin, S. Zherlitsyn**  
 Ultrasound attenuation in semiconductors containing Jahn-Teller defects  
**N.S. Averkiev, K.A. Baryshnikov, I.B. Bersuker, V.V. Gudkov, I.V. Zhevstovskikh, V.Yu. Mayakin, A.M. Monakhov, M.N. Sarychev, V.E. Sedov, S. Yasin, S. Zherlitsyn** . . . . . 144
- T-09 Гистерезисные явления в магнитосопротивлении кристаллов селенида ртути с примесями 3d-переходных металлов  
**A.T. Lonchakov, V.I. Okulov, T.E. Govorkova, С.Б. Бобин, В.В. Дерюшкин, М.Д. Андрийчук, Л.Д. Паранчик**  
 Hysteresis phenomena in magnetoresistance of HgSe crystals doped by 3d-transition metal impurities  
**A.T. Lonchakov, V.I. Okulov, T.E. Govorkova, S.B. Bobin, V.V. Deryushkin, M.D. Andriichuk, L.D. Paranchich** . . . . . 146
- T-10 Vacancies as Jahn-Teller centers in crystal  
 V.V. Gudkov, N.S. Averkiev, I.B. Bersuker, K.A. Baryshnikov, G.V. Colibaba, I.V. Zhevstovskikh, V.Yu. Mayakin, A.M. Monakhov, D.D. Nedeoglo, M.N. Sarychev, V.T. Surikov . . . . . 148
- T-11 Влияние давления на параметры резонансного уровня железа в теллуриде свинца  
**Е.П. Скипетров, О.В. Крулевецкая, Л.А. Скипетрова, Е.И. Слынько, В.Е. Слынько**

- Parameters of Iron Resonant Level in Lead Telluride under Pressure  
*E.P. Skipetrov, O.V. Kruleveckaya, L.A. Skipetrova,  
 E.I. Slyntko, V.E. Slyntko . . . . .* 150
- Т-12 Люминесценция твёрдых растворов  $\text{Co}_{1-x}\text{Zn}_x\text{O}$  при междузонном возбуждении  
*Н.Б. Груздев, В.И. Соколов, В.А. Пустоваров,  
 В.Н. Чурманов* . . . . . 152
- Luminescence of  $\text{Co}_{1-x}\text{Zn}_x\text{O}$  solid solutions at the interband excitation  
*N.B. Gruzdev, V.I. Sokolov, V.A. Pustovarov,  
 V.N. Churmanov . . . . .* 152
- Т-13 Фотолюминесцентная спектроскопия процессов переноса заряда в оксидных соединениях  $\text{Ni}_x\text{Mg}_{1-x}\text{O}$   
*В.Н. Чурманов, Н.Б. Груздев, В.И. Соколов,  
 В.А. Пустоваров, В.Ю. Иванов, Н. Миронова-  
 Улмане* . . . . . 154
- Photoluminescence spectroscopy of charge-transfer processes in oxide compounds  $\text{Ni}_x\text{Mg}_{1-x}\text{O}$   
*V.N. Churmanov, N.B. Gruzdev, V.I. Sokolov,  
 V.A. Pustovarov, V.Yu. Ivanov, N. Mironova-Ulmane* 154
- Т-14 Дестабилизирующие факторы и формирующиеся сверхструктуры в кристаллической решётке высоколегированного кубического кристалла  $\text{Zn}_{0.9}\text{Ni}_{0.1}\text{S}$   
*Т.П. Суркова, В.И. Максимов, С.Ф. Дубинин*  
 Destabilizing factors and forming superstructures in the crystal lattice of highly doped  $\text{Zn}_{0.9}\text{Ni}_{0.1}\text{S}$  cubic crystal  
*T.P. Surkova, V.I. Maksimov, S.F. Dubinin . . . . .* 156
- Т-15 Намагниченность и гальваномагнитные эффекты в гетероструктурах  $\text{GaSb}:\text{Mn}$   
*Т.Б. Чарикова, К.Д. Моисеев, В.И. Окулов,  
 А.В. Королев, В.П. Лесников, А.М. Луговых*

Magnetization and galvanomagnetic effects in GaSb:Mn heterostructures	
<i>T.B. Charikova, K.D. Moiseev, V.I. Okulov, A.V. Korolev, V.P. Lesnikov, A.M. Lugovikh . . . . .</i>	158
T-16 The Thermoelectric and galvanomagnetic effects in $\text{Ga}_{1-x}\text{Mn}_x\text{As}$ thin films	
<i>I. Soldatov, N. Panarina, Ch. Hess, L. Schultz, R. Schaefer . . . . .</i>	160

---

## Новые электронные явления и материалы

### New Electronic Phenomena and Materials

165

NM-01 Photovoltaics — new materials, new ideas	
<i>Marek Godlewski, G. Luka, R. Pietruszka, B.S. Witkowski, L. Wachnicki, S. Gierałtowska . . . . .</i>	165
NM-02 Локальные электронные состояния в легиро- ванных узкощелевых полупроводниках на основе теллурида свинца	
<i>Д.Р. Хохлов, Л.И. Рябова, Д.Е. Долженко</i>	
Local Electron States in Doped Narrow-Gap Lead Telluride-Based Semiconductors	
<i>D.R. Khokhlov, L.I. Ryabova, D.E. Dolzhenko . . . . .</i>	166
NM-03 Магнитные гетероструктуры Fe/Si как матери- алы для спинtronики	
<i>С.Г. Овчинников, С.Н. Варнаков, С.А. Лященко, И.А. Тарасов, И.А. Яковлев, А.С. Федоров</i>	
Magnetic heterostructures Fe/Si as materials for spintronics	
<i>S.G. Ovchinnikov, S.N. Varnakov, S.A. Lyashenko, I.A. Tarasov, I.A. Yakovlev, A.S. Fedorov . . . . .</i>	167
NM-04 Влияние состава и уровня легирования твердо- го раствора $\text{Pb}_z\text{Sn}_{1-z}\text{Te} : \text{In}$ на фазовый переход в сверхпроводящее состояние в условиях гидро- статического сжатия	
<i>Г.О. Андрианов, Н.Ю. Михайлин, С.А. Немов, Р.В. Парфеньев, А.В. Черняев, Д.В. Шамшур</i>	

- Affect of composition and doping level of  $Pb_zSn_{1-z}Te$ : In solid solutions on the superconducting phase transition under hydrostatic pressure  
*G.O. Andrianov, N.Yu. Mikhailin, S.A. Nemov, R.V. Parfeniev, A.V. Chernyaev, D.V. Shamshur* . 169
- NM-05 Эффекты взаимодействия и беспорядка в тонких пленках трёхмерных топологических изоляторов  
*E.J. König, P.M. Ostrovskiy, I.B. Protopopov, I.B. Горный, И.С. Бурмистров, А.Д. Мирлин*  
 Interaction and disorder effects in 3D topological insulator thin films  
*E.J. König, P.M. Ostrovsky, I.V. Protopopov, I.V. Gornyi, I.S. Burmistrov, A.D. Mirlin* . . . . . 171
- NM-06 Трёхмерный топологический изолятор на основе напряженного HgTe  
*Д.А. Козлов, Е.Б. Ольшанецкий, С. Зот, З.Д. Квон, Д. Уэйс, С.Д. Ганичев, Н.Н. Михайлов, С.А. Дворецкий*  
 Three-Dimensional Topological Insulator Based on a Strained HgTe Film  
*D.A. Kozlov, E.B. Olshanetsky, C. Zoth, Z.D. Kvon, D. Weiss, S.D. Ganichev, N.N. Mikhailov, S.A. Dvoretsky* . . . . . 173
- NM-07 Скрытый магнетизм в топологических изоляторах  
*В.И. Гребенников, Т.В. Кузнецова, М.В. Якушев*  
 The Hidden Magnetism in Topological Insulators  
*V.I. Grebennikov, T.V. Kuznetsova, M.V. Yakushev* 175
- NM-08 Angle-resolved photoemission studies of topological crystalline insulator  $(Pb,Sn)Se$   
*B.J. Kowalski, P. Dziawa, T. Balasubramanian, B.M. Wojek, M.H. Berntsen, O. Tjernberg, M. Leandersson, A. Szczerbakow, R. Buczko, P. Kacman, S. Safaci, T. Story* . . . . . 177
- NM-09 Проводимость конечных систем и скейлинг в теории локализации  
*И.М. Суслов*

Conductance of Finite Systems and Scaling in the Localization Theory <i>I.M. Suslov</i>	179
NM-10 Влияние процессов многократного рассеяния на квантовый транспорт электронов в магнитном поле через анизотропный атом <i>B.B. Вальков, С.В. Аксенов, Е.А. Уланов</i>	180
Influence of multiple scattering processes on quantum transport through anisotropic atom in magnetic field <i>V.V. Val'kov, S.V. Aksenov, E.A. Ulanov</i>	180
NM-11 Термоспин-эффекты в структурах металл/магнитный изолятор <i>И.И. Ляпилин, М.П. Окороков</i>	182
Thermo-spin effects in metal/magnetic insulator structures <i>I.I. Lyapilin, M.P. Okorokov</i>	182
NM-12 Структура и электрофизические свойства проводящих прозрачных плёнок оксидов цинка и индия <i>В.А. Кульбачинский, В.Г. Кытин, О.В. Рейкова, Д.С. Глебов, Д.Д. Мельник, Л.И. Бурова, А.Р. Кауль, Ю.М. Гальперин, А.Г. Ульяшин</i>	185
Structure and electrophysical properties of the transparent conducting zinc and indium oxide films <i>V.A. Kulbachinskii, V.G. Kytin, O.V. Reukova, D.S. Glebov, D.D. Melnik, L.I. Burova, A.R. Kaul, Yu.M. Galperin, A.G. Ulyashin</i>	185
NM-13 Resonant photoemission studies of semiconductor surfaces doped with Rare Earth <i>E. Guziewicz, B.A. Orlowski, B.J. Kowalski, I.A. Kowalik</i>	187
NM-14 Zinc oxide for organic-inorganic electronics <i>Grzegorz Luka</i>	190
NM-15 Application of ZnO and GaN based semiconductors for light-induced water splitting <i>A. Suchocki, Yu. Suhak, A. Mycielski, K. Grasza, P. Skupiński, A. Reszka, R. Czernecki, S. Grzanka, M. Leszczynski</i>	191

- NM-16 Atomic distribution of ternary alloy configurations. How different occupation preferences may emerge?  
**B.V. Robouch, A. Marcelli, F. Cordeiro Raposo, P. Robouch, A. Kisiel, L. Di Giambattista . . . . .** 194
- NM-17 Фотоэмиссия из GaAs с неравновесными слоями цезия и кислорода  
**А.Г. Журавлев, М.Л. Савченко, В.Л. Альперович**  
 Photoemission from GaAs with nonequilibrium cesium and oxygen overlayers  
**A.G. Zhuravlev, M.L. Savchenko, V.L. Alperovich . . . . .** 197
- NM-18 Гетероструктуры HgCdTe для двухспектральных фотоприемников  
**Д.В. Брунев, В.В. Васильев, В.С. Варавин, С.А. Дворецкий, Н.Н. Михайлов, А.В. Предеин, В.Г. Ремесник, И.В. Сабинина, Г.Ю. Сидоров, Ю.Г. Сидоров, А.О. Суслаков, А.Л. Асеев**  
 The HgCdTe heterostuctures for dual band photodetectors  
**D.V. Brunev, V.V. Vasil'ev, V.S. Varavin, S.A. Dvoretsky, N.N. Mikhailov, A.V. Predein, V.G. Remesnik, I.V. Sabinina, G.Yu. Sidorov, Yu.G. Sidorov, A.O. Suslyakov, A.L. Aseev . . . . .** 199
- NM-19 Оптическая ориентация носителей при фотонейтрализации ионов Mn в структурах на основе GaAs  
**И.А. Кокурин, П.В. Петров, Н.С. Аверкиев**  
 Optical orientation of carriers through Mn-ions photoneutralization in GaAs-based structures  
**I.A. Kokurin, P.V. Petrov, N.S. Averkicv . . . . .** 201
- NM-20 Спиновый шум электронов и экситонов  
**Д.С. Смирнов**  
 Spin noise of electrons and excitons  
**D.S. Smirnov . . . . .** 203

NM-21 Роль квазидвумерности в формировании электронной структуры и свойств ВТСП купратов в нормальном состоянии

**С.Г. Овчинников, В.А. Гавричков, М.М. Коршунов, С.В. Николаев, Е.И. Шнейдер**

Effect of quasi-2d dimensionality on the formation of electronic structure and normal properties of HTSC cuprates

**S.G. Ovchinnikov, V.A. Gavrichkov, M.M. Korshunov, S.V. Nikolaev, E.I. Shneyder . . . . . 205**

NM-22 Pseudospin  $S=1$  description of the cuprate complexity: the charge triplet's model

**A.S. Moskvin . . . . . 207**

NM-23 Гальваномагнитные эффекты в электронно-легированных сверхпроводящих соединениях

**Д.С. Петухов, Т.Б. Чарикова, Г.И. Харус, Н.Г. Шелушинина, В.Н. Неверов, О.Е. Петухова, А.А. Иванов**

Galvanomagnetic effects in electron-doped superconducting compounds

**D.S. Petukhov, T.B. Charikova, G.I. Harus, N.G. Shelushinina, V.N. Neverov, O.E. Petukhova, A.A. Ivanov . . . . . 208**

NM-24 Inhomogeneous electron gas at oxide interfaces with strong Rashba spin-orbit coupling

**S. Caprara, D. Bucheli, M. Grilli . . . . . 210**

NM-25 Квантовые ямы GaAs/InGaAs/GaAs с дельтадегированием марганцем

**К.Д. Моисеев, В.Н. Неведомский, Р.В. Золотарева, Yu. Kudriavstev, S. Gallardo, M. Lopez**

GaAs/InGaAs/GaAs quantum well with Mn delta-doping

**K.D. Moiseev, V.N. Nevedomsky, R.V. Zolotareva, Yu. Kudriavstev, S. Gallardo, M. Lopez . . . . . 213**

NM-26 Движущаяся квантовая точка как магнитная примесь

**К.А. Кикоин**

Moving quantum dot as a magnetic impurity <i>K.A. Kikoin</i>	215
NM-27 Примеси в графене: ренормгрупповой анализ <i>A.A. Катанин</i>	
Impurities in graphene: renormalization-group analysis <i>A.A. Katanin</i>	217
NM-28 Вертикальный транспорт в резонаторных структурах на основе короткопериодных сверхрешеток GaAs/AlAs и InAs/AlSb <i>M.C. Каган, И.В. Алтухов, А.Н. Баранов, А.Д. Буравлев, А.П. Васильев, Н.Д. Ильинская, С.К. Папроцкий, Р. Тесье, А.А. Усикова, В.М. Устинов</i>	
Vertical transport in short-period GaAs/AlAs and InAs/AlSb superlattices with optical cavities <i>M.S. Kagan, I.V. Altukhov, A.N. Baranov, A.D. Buravlev, A.P. Vasil'ev, N.D. Il'inskaya, S.K. Paprotskii, R. Teissier, A.A. Usikova, V.M. Ustinov</i>	219
NM-29 A New Generation of Rare-Earth-Based Quantum Dots vs. their Commercial Counterparts for Applications in Biology and Medicine. The Influence of Shape and Size on Intestinal Uptake and Tissue Distribution of Fluorescent Nanocrystals <i>Michał M. Godlewski, J. Kaszewski, A. Szal, A. Slonska, M.A. Domino, M. Godlewski</i>	221
NM-30 Влияние <i>p-d</i> гибридизации на электронные свойства соединений Cu(In, Ga)Se <sub>2</sub> <i>Т.В. Кузнецова, В.И. Гребенников, М.В. Якушев</i>	
Effect of <i>p-d</i> Gibridization on the Electron Properties of Compounds Cu(In, Ga)Se <sub>2</sub> <i>T.V. Kuznetsova, V.I. Grebennikov, M.V. Yakushev</i>	223
NM-31 Фотолюминесценция арсенида галлия, внедренного в пористые матрицы анодного оксида алюминия методом термического напыления <i>Р.Г. Валеев, В.Ф. Кобзиеv, Р.М. Закирова, В.В. Ветошкин</i>	

- Photoluminescence of GaAs embedded into porous matrices of anodic aluminum oxide by the method of thermal deposition  
*R.G. Valeev, V.F. Kobziev, R.M. Zakirova, V.V. Vetoshkin . . . . .* 224
- NM-32 Эффект резистивного переключения в полимерных материалах и влияние фотосенсибилизирующих добавок на его свойства  
*М.А. Дронов, М.С. Котова, И.А. Белогорхов*  
The effect of the resistive switching in polymer materials and the impact of photosensible additives on its properties  
*M.A. Dronov, M.S. Kotova, I.A. Belogorokhov . . . . .* 226
- NM-33 Резонансы проводимости в открытом биллиарде в присутствии спин-орбитального взаимодействия Рацбса: влияние слабого магнитного поля  
*Г.Г. Исупова, А.И. Малышев*  
Resonances of the conductance in open billiard with Rashba spin-orbit interaction: influence of a weak magnetic field  
*G.G. Isupova, A.I. Malyshev . . . . .* 228
- NM-34 Фотоэлектронные свойства легированного азотом и углеродом нанокристаллического диоксида титана  
*Е.А. Константинова, Н.Т. Лё, А.А. Зайцева, В.Г. Кытин*  
Photoelectronic properties of carbon and nitrogen doped nanocrystalline titania  
*E.A. Konstantinova, N.T. Le, A.A. Zaitseva, V.G. Kytin . . . . .* 230
- NM-35 Особенности прыжковой проводимости в плёнках ZnO:Co  
*В.Г. Кытин, О.В. Рсукова, Д.С. Глебов, Д.Д. Мельник, Л.И. Бурова, А.Р. Кауль, В.А. Кульбачинский*

Features of the hopping conductivity in ZnO:Co films <i>V.G. Kytin, O.V. Reukova, D.S. Glebov, D.D. Melnik, L.I. Burova, A.R. Kaul, V.A. Kulbachinskii . . . . .</i>	232
NM-36 Структура и электрофизические свойства полупроводникового соединения BiTeCl <i>O.E. Терещенко, К.А. Кох, В.А. Голяшов, А.С. Кожухов, О.А. Шегай, Д.Ю. Протасов</i>	234
Структура и электрофизические свойства полупроводникового соединения BiTeCl <i>O.E. Терещенко, К.А. Кох, В.А. Голяшов, А.С. Кожухов, О.А. Шегай, Д.Ю. Протасов . . . . .</i>	234
NM-37 Проводимость различных фаз фуллерита при давлениях до 30 ГПа <i>Г.В. Тихомирова, Я.Ю. Волкова, Т.К. Петросян</i>	236
Conductivity of various phases of fullerite at pressures up to 30 GPa <i>G.V. Tikhomirova, Y.Y. Volkova, T.K. Petrosyan . . . . .</i>	236
NM-38 Электронная структура органических полупроводниковых нанообъектов <i>Е.В. Тихонов, Ю.А. Успенский, Д.Р. Хохлов</i>	238
Electronic structure of organic semiconducting nanoobjects <i>E.V. Tikhonov, Yu.A. Uspenskii, D.R. Khokhlov . . . . .</i>	238
NM-39 Плотноперфорированный 2DEG как решетка случайных сопротивлений <i>O.A. Ткаченко, В.А. Ткаченко</i>	240
Densely perforated 2DEG as a lattice of random resistances <i>O.A. Tkachenko, V.A. Tkachenko . . . . .</i>	240
NM-40 Энтропийный вклад в термоэдс легированных мanganитов лантана <i>Н.А. Угрюмова, Э.А. Нейфельд, В.Е. Архипов, Я.М. Муконский</i>	240

NM-44 Электронные свойства и структура объемных и пленочных сплавов Гейслера на основе кобальта: $\text{Co}_2\text{Cr}_{1-x}\text{Fe}_x\text{Al}$ ( $x=0.4, 0.6$ ) и $\text{Co}_2\text{FeSi}$	249
<i>E.P. Платонов, С.М. Емельянова, К.А. Белозерова, М.А. Гагарская, О.Е. Попова, Н.А. Виглин, Е.И. Патраков, Л.И. Наумова, Е.И. Шредер, В.В. Марченков, М.А. Мильяев, А.П. Носов, H.W. Weber, M. Eisterer</i>	
Electronic properties and structure of bulk and thin film Co-based Heusler alloys: $\text{Co}_2\text{Cr}_{1-x}\text{Fe}_x\text{Al}$ ( $x=0.4, 0.6$ ) and $\text{Co}_2\text{FeSi}$	
<i>E.P. Platonov, S.M. Emelyanova, K.A. Belozerova, M.A. Gagarskaya, O.E. Popova, N.A. Viglin, E.I. Patrakov, L.I. Naumova, E.I. Shredler, V.V. Marchenkov, M.A. Milyaev, A.P. Nosov, H.W. Weber, M. Eisterer</i>	249
NM-45 Электрические и гальваномагнитные свойства монокристаллов $\text{Bi}_2\text{Te}_3$ и $\text{BiSbTe}_2\text{S}$	251
<i>В.В. Марченков, Т.В. Кузнецова, С.В. Наумов, К.А. Белозерова, В.П. Дякина, Е.П. Платонов, С.М. Емельянова, С.А. Чепурин, О.Е. Терещенко, К.А. Кох, H.W. Weber</i>	
Electrical and galvanomagnetic properties of $\text{Bi}_2\text{Te}_3$ and $\text{BiSbTe}_2\text{S}$ single crystals	
<i>V.V. Marchenkov, T.V. Kuznetsova, S.V. Naumov, K.A. Belozerova, V.P. Dyakina, E.P. Platonov, S.M. Emelyanova, S.A. Chepurin, O.E. Tereshchenko, K.A. Kokh, H.W. Weber</i>	251
NM-46 Factors of local lowering of the cuprate crystal symmetry and their impact on initiation of high-temperature superconductivity	253
<i>A.В. Митин</i>	
NM-47 Аномалии низкотемпературной теплопроводности и эффекта Маджи-Риги-Ледюка в сплавах $\text{Fe}_{2-x}\text{V}_{1+x}\text{Al}$	253
<i>А.Т. Лончаков, В.В. Марченков, В.И. Окулов, К.А. Окулова, Т.Е. Говоркова, С.М. Подгорных</i>	

- Anomalous low-temperature heat conductivity and  
Madzhi-Rigi-Ledjuk effect in  $\text{Fe}_{2-x}\text{V}_{1+x}\text{Al}$  alloys  
*A.T. Lonchakov, V.V. Marchenkov, V.I. Okulov,  
K.A. Okulova, T.E. Govorkova, S.M. Podgornuykh . . 256*